MRI 医师

以下每一道考题下面有 A、B、C、D、E 五个备选答案。 请从中选择一个最佳答案,并在答题卡上将相应题号的相应 字母所属的方框涂黑。

- 1. 关于脑转移瘤的 MRI 表现, 错误的是
- A. 转移瘤可见于脑内任何部位,但以皮层下多见
- B. 增强扫描,绝大多数转移瘤显著强化
- C. 转移瘤的强化形态可分为实性或环 形
- D. 瘤周水肿程度与转移灶大小成正比
- E. 瘤周水肿 T1WI 呈低信号, T2W1 呈高信号, 增强扫描无强化
- 2. 乳腺 MRI 检查常规选用的成像方位是
- A. 横轴位
- B. 冠状位
- C. 矢状位
- D. 横轴位和矢状位
- E. 横轴位和冠状位
- 3. 下列胆囊造影检查方法中, 副作用最少的是
- A 口服胆囊造影
- B. 静脉胆囊造影

- C. 静脉点滴造影
- D. 经皮穿刺胆管造影
- E. 逆行胆管造影(经十二指肠)
- 4. 骨质破坏的基本 X 线表现是
- A骨密度减低
- B. 骨小梁模糊
- C. 骨小梁变细
- D. 骨结构紊乱
- E. 骨结构局部消失
- 5. MRI 诊断早期股骨头缺血性坏死的病理基础是
- A. 关节软骨坏死
- B. 骨质增生硬化
- C. 缺血后骨髓的变化
- D. 骨膜反应
- E. 关节积液
- 6. 能有效鉴别术后瘢痕粘连与椎间盘再突出的是
- A. STIR
- B. FSE-T2W1
- C. SE-T1W1

- D. GE-T2WI
- E. GE-T1W1
- 7. 高速电子流轰击阳极靶面能量转换过程中, X 线转换率在
- A. 50%
- B. 30%
- C. 10%
- D. 5%
- E. 1%以下
- 8. 典型急性肺水肿 X 线征象是
- A. 肺纹理模糊
- B. 出现间隔线
- C. 胸膜腔少量积液
- D. 肺门旁"蝶翼状"影
- E. "含气支气管征"
- 9. 患者男, 35 岁。因腰 4~5 椎间盘突出行手术治疗后半年, MRI 显示腰 4~5 水平硬膜囊前方弥漫性分布 T1WI 等、T2WI 稍低信号区, 边界不清, 增强早期显著强化。最可能的诊断是
- A. 腰 4~5 椎间盘再突出

- B. 手术后疤痕组织
- C. 椎管内神经鞘瘤
- D. 椎管内囊肿
- E. 正常韧带结构
- 10. 构成右下肺门外缘的主要解剖结构是
- A. 右下肺动脉及肺静脉
- B. 右下肺功脉及支气管
- C. 右下肺功脉、支气管和肺静脉
- D. 右下肺动脉及右上肺静脉
- E. 右下肺动脉_
- 11. 大叶性肺炎实变期一般出现在发病后
- A. 0.5~1 天
- B. 2~3 天
- C. 4~5 天
- D.6~7天
- E. 8~9 天
- 12. 肝门区胆管癌 (Klatskin 瘤) 最常见的 MRI 表现为
- A. 肝门区大肿块
- B. 肝门区胆管腔内充盈缺损

- C. 肝内胆管扩张, 总肝管及胆总管无扩 张
- D. 胆囊明显缩小
- E. 肝内及淋巴结转移病灶
- 13. 患者女,50 岁。矢状位 MRI 示 T2 椎体水平一边界清楚中等 T1、T2 信号肿块,脊髓受压向前移位,肿块均匀强化,并可见肿瘤与硬膜广泛相连,该患者最可能的诊断是
- A. 神经鞘瘤
- B. 室管膜瘤
- C. 星形细胞瘤
- D. 脊膜瘤
- E. 神经纤维瘤
- 14. 对淋巴结检出最为敏感的 MRI 序列是
- A. 双回波 T1WI
- B. FSE-T2WI
- C. 脂肪抑制 T2WI
- D. 脂肪抑制 T1WI
- E. FSE-T1WI
- 15. 子宫内膜异位症的常见 MRI 征象是
- A. 多发囊性病灶, T1WI 和 T2WI 脂肪抑制均为高信号

- B. 多发实性病灶, T1WI 和 T2WI 脂肪抑制均为高信号
- c. 多发囊性病灶, T1WI 和 T2WI 脂肪抑制均为低信号
- D. 多发实性病灶, T1WI 和 T2WI 脂肪抑制均为低信号
- E. 多发囊性病灶, T1WI 为高信号, T2WI 脂肪抑制为低信号
- 16. 在子宫内膜癌的国际妇产科联合会 外科分期与 TNM 分类中,关于 I a 期的标准是
- A. 肿瘤侵及子宫颈但未超越子宫
- B. 肿瘤侵及子宫、附件, 但尚未真正的超越骨盆
- C. 原位癌
- D. 限于宫体的肿瘤, 肿瘤限于内膜
- E. 侵犯子宫肌层不足一半
- 17. 患者男,50岁。头痛、恶心、呕吐3天入院。MRI表现为:病变累及额叶深部脑白质,T1WI和T2WI呈混杂信号,瘤体内可见血管流空信号,病变周围水肿明显,注射对比剂后呈明显的不均匀性强化。符合此种表现的肿瘤是
- A. 少突胶质细胞瘤
- B. IV 级星形细胞瘤
- C. III 级星形细胞瘤
- D. II 级星形细胞瘤
- E. 星形细胞瘤

- 18. 增殖型肠结核 X 线征象中不包括
- A. 多发生于回盲部
- B. 肠管狭窄变形明显
- C. 多出现"跳跃"征
- D. 可出现不全肠梗阻
- E. 盲肠短缩
- 19. 大动脉炎高分辨率 SE 序列图像表现为
- A. 血管腔为圆形高信号
- B. 血管内膜呈环形低信号
- C. 纤维化的血管中膜呈环形低信号_
- D. 血管外膜呈环状低信号
- E. 血管腔呈圆形混杂信号
- 20. 脊椎结核分型中, 易引起背部寒性脓肿的是
- A. 中心型
- B. 边缘型
- C. 韧带下型
- D. 附件型
- E. 各型均可引起
- 21. 有关脑出血的描述,正确的是

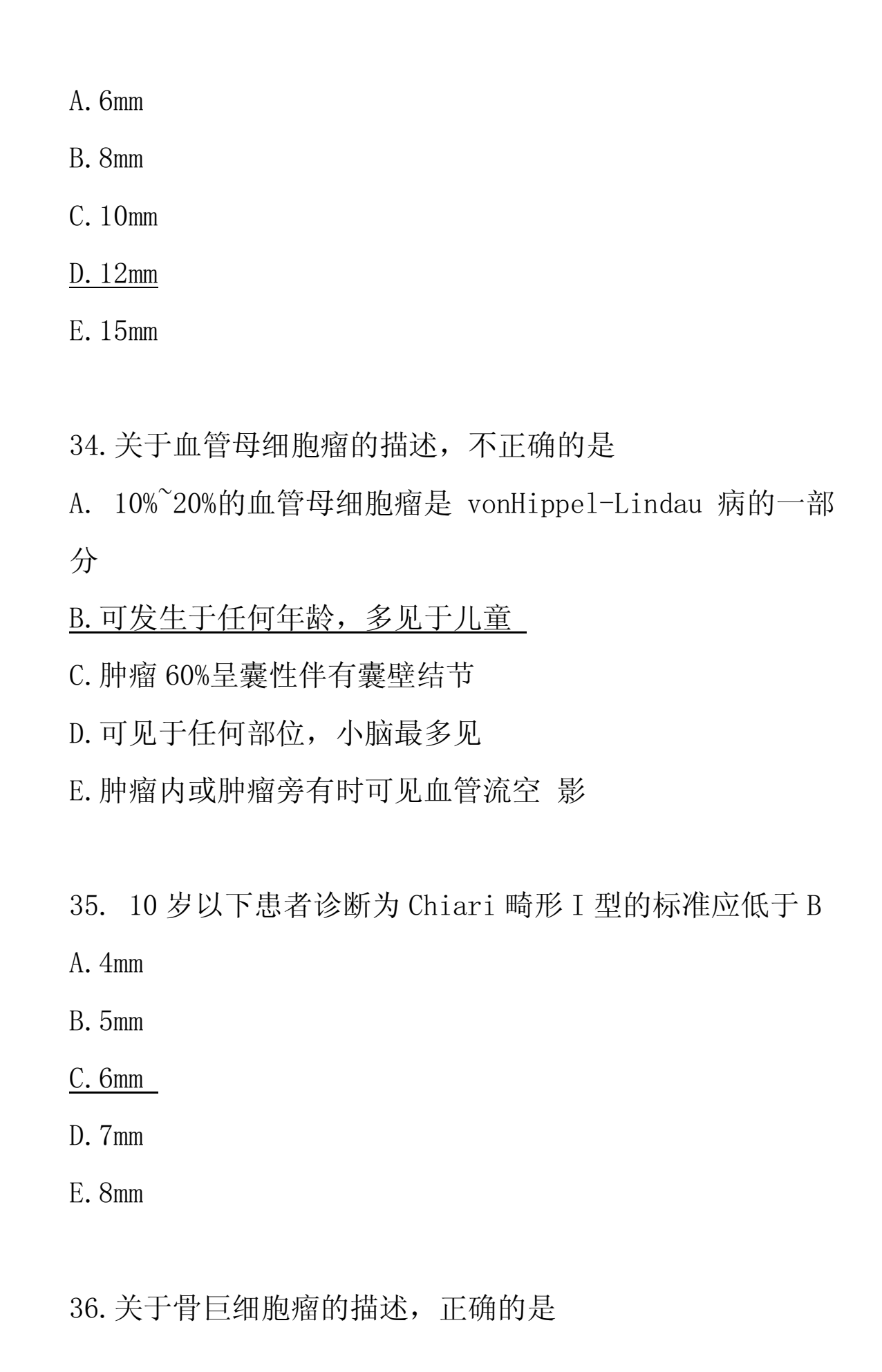
- A. 急性期脑出血为均匀一致的高密度灶
- B. 高血压性脑出血最常发生于丘脑
- C. "融冰征"出现于出血后第2周
- D. 脑出血各期均可见明显强化
- E. 血肿占位效应在出血后 2~3 周最明显
- 22. 乳腺癌增强扫描时,不同类型有不同增强特点,其中强化最快,最明显的是
- A. 导管癌
- B. 小叶癌
- C. 髓样癌
- D. 硬癌
- E. 黏液腺癌
- 23. 评价出生到6个月小儿脑发育的最佳检查方法是
- A. CT
- B. 超声
- C. TlWI
- D. T2WI
- E. 增强 T1WI
- 24. 前列腺癌通常起源于

A. 左、右叶外周带

- B. 前叶外周带
- C. 中叶外周带
- D. 中叶内侧带
- E. 后叶外周带
- 25. 显示主动脉全貌,最佳的切面为
- A. 人体横轴位
- B. 人体矢状位
- C. 人体冠状位
- D. 主动脉短轴位
- E. 主动脉长轴位
- 26. 毛细胞型星形细胞瘤常见部位不包 括
- A. 下丘脑
- B. 脑干
- C. 视交叉
- D. 小脑半球
- E. 大脑半球
- 27. 与颅咽管瘤特点不符的是
- A. 为常见的鞍上肿瘤

- B. 好发于儿童
- C. 好发于 40~60 岁患者
- D. 信号常较均匀
- E. 肿瘤边界清楚
- MR 信号变化多端, T1 可以高信号、等信号、低信号或混合信号。T2 高信号多见
- 28. 肾上腺脑白质营养不良的 MRI 表现为
- A. 首先出现额叶脑白质异常信号
- B. 首先出现颞、顶、枕叶脑白质的信号异常
- C. 无脑萎缩改变
- D. 无对比剂增强
- E. 动态观察病变无变化
- 29. 有关副鼻窦黏液囊肿的描述,正确的是
- A. 是恶性病变
- B. 由黏液腺分泌阻塞引起
- C. 由副鼻窦窦口阻塞引起
- D. 增强后呈明显强化
- E. 明显骨质破坏
- 30. 有关肾上腺转移瘤的描述,不正确的是

- A. 是人体原发肿瘤转移的好发部位(器官)之一
- B. 肺癌和乳腺癌引起的肾上腺转移最常见
- C. MR 反相位成像对鉴别腺瘤与转移很有帮助
- D. MR 反相位成像鉴别腺瘤与转移非常困难
- E.MR 增强扫描有助于判断腺瘤与转移
- 31. 有关腹膜后神经源性肿瘤 MRI 表现的描述, 正确的是
- A. T2WI 高信号,增强扫描早期无强化,延迟呈显著强化
- B. T2WI 高信号,增强扫描早期强化,延迟仍呈显著强化
- C. T2WI 高信号,增强扫描早期明显强化,延迟无强化
- D. T2WI 高信号,增强扫描早期强化,延迟呈轻度强化
- E. T2WI 高信号,增强扫描早期轻度强化,延迟轻度强化
- 32. 关于肝硬化的 MRI 表现,正晴的是
- A. 肝硬化再生结节在 T1WI 和 T2WI 均呈现略高信号
- B. 肝硬化的纤维化组织在 T1WI 一定呈现高信号
- C. 肝硬化的纤维化组织在 T2WI 可呈现高信号
- D. T2WI 上在硬化的肝实质内没有看到高信号的结节可排除 肝细胞癌
- E. 肝硬化的纤维化组织在增强扫描时一般不强化
- 33. 怀孕后期和产后妇女垂体的最大高 度为



- A. 多为青少年发病
- B. 最常见的发病部位为长骨骨干
- C. 增强扫描病变无强化
- D. 肿瘤内部可见液-液平面
- E. T2WI 肿瘤组织多为均匀高信号
- 37. 关于骨肉瘤特点的描述,不正确的是
- A. 病变好发于 10~20 岁患者管状骨的干骺端
- B. 60 岁以上患者,病变以中轴骨和扁骨多见
- C. 成骨样瘤组织 T1WI、T2WI 均为低信号
- D. 非成骨样瘤组织 T1WI、T2WI 均为高信号
- E. 增强扫描病灶明显强化
- 38. 有关 II 型(DeBaKey 分型) 主动脉夹层的 MRI 表现,错误的是
- A. 主动脉升、弓部和降部均受累, 病变延及腹主动脉
- B. 假腔宽大, 呈中等或极高信号
- C. 真腔细小, SE 脉冲序列呈低信号
- D. T1WI 内膜片为真假腔之间的线状中等信号
- E. 假腔内附壁血栓在 T1WI 上可呈高、中等或低信号
- 39. 原发性肺结核典型 X 线征象是

- A. 肺内浸润阴影
- B. 肺门淋巴结肿大
- C. "双极征"
- D. 肺空洞形成
- E. 胸腔积液
- 40. 两肺肺血减少,肺动脉段突出,两肺动脉主干不对称, 左侧粗,右侧细,见于哪种心脏病
- A. 法洛四联症
- B. 动脉导管未闭
- C. 原发性肺动脉高压
- D. 肺动脉瓣狭窄
- E. 高位室间隔缺损
- 41. 下列关于脊髓炎的描述,不正确的是 B
- A. 在 T11WI 上为低信号
- B. 在 T2WI 上为低信号
- C. 治疗不及时,晚期可出现脊髓萎缩
- D. 表现为脊髓增粗
- E. 增强扫描后可出现病灶强化
- 42. 脊髓脊膜膨出通常不合并 E

- A. Chiari II 型畸形
- B. 脊髓纵裂
- C. 脊髓栓系综合征
- D. 皮样囊肿
- E. 表皮样囊肿
- 43. MRI 诊断价值相对较低的疾病是
- A. 急性骨挫伤
- B. 白血病的骨髓浸润
- C. 髓内肿瘤
- D. 脊髓空洞症
- E. 慢性化脓性骨髓炎
- 44. 鼻咽癌较早可发生淋巴结转移,哪一组淋巴结很少受侵犯
- A. 颈静脉二腹肌淋巴结
- B. 副神经淋巴结
- C. 咽后淋巴结
- D. 颈深淋巴结
- E. 腋下淋巳结_
- 45. 骨髓瘤导致骨质破坏的原因是由于

- A. 骨髓瘤细胞直接破坏
- B. 阻断骨质的血供
- C. 骨组织营养障碍
- D. 激活破骨细胞
- E. 吞噬细胞吞噬作用
- 46. 关于肺动脉栓塞 CT 表现的描述,不正确的是
- A. 栓塞血管供血的肺区 CT 值减低
- B. 增强扫描时肺动脉内充盈缺损
- C. 肺梗塞呈肺外周模形致密影
- D. 锲形影的顶端与一血管相连
- E. 肺梗塞可呈单发空洞, 但不出现多发 空洞
- 47. 关于中心型肺癌的描述,错误的是 C
- A. 生长方式可分为结节型、浸润型和结节浸润型
- B. 原发部位发生于主支气管、叶或段支气管
- C. 常见的细胞类型为鳞癌和小细胞癌
- D. 结节型可产生阻塞性肺气肿
- E. 浸润型 X 线平片不易发现病变
- 48. 患者男,55 岁。咳嗽气短多年,秋冬加重。HRCT 示两肺散在分布低密度区, $2^{\sim}10\text{mrn}$,无壁,两上肺为著。应诊断

- A. 小叶中心型肺气肿
- B. 组织细胞增生症 X
- C. 支气管扩张
- D. 先天性肺囊肿
- E. 淋巴管肌瘤病
- 49. 不支持纵隔神经源性肿瘤诊断的 CT 表现是
- A. 肿物位于后纵隔
- B. 肿物软组织密度, 低于肌肉
- C. 可见邻近结构侵犯
- D. 肿物内可见空洞
- E. 有不同程度的增强
- 50. 关于胆管细胞癌的说法,错误的是
- A. 起源于肝内胆管上皮细胞
- B. 平扫呈不规则低密度, 可有钙化
- C. 增强病灶显示较清楚, 可呈多结节组成
- D. 与肝细胞癌的 CT 表现有特异性差异
- E. 病人一般无肝炎和肝硬化史
- 51. 脑梗塞 CT 显示"模糊效应"期(Fogging effect)的病理基

础是由于

- A. 梗塞坏死区出现水肿
- B. 梗塞坏死区出现躏细胞坏死
- C. 梗塞坏死区出现血脑屏障破坏
- D. 梗塞坏死区出现吞噬细胞、胶质细胞成分
- E. 梗塞坏死区出现吞噬细胞、胶质细胞成份, 脑水肿消失
- 52. 关于喉癌的描述,错误的是
- A. 声门区为好发部位
- B. 多发生于近前联合处
- C. 肿瘤可沿水平和垂直两个方向蔓延
- D. 肿瘤最常蔓延的方向是向后方
- E. 直接向外蔓延可进入喉旁组织
- 53. 典型慢性硬膜外血肿的 CT 表现是
- A. 颅骨内板下方均一高密度梭形影
- B. 颅骨内板下方不均匀混杂密度梭形影
- C. 颅骨内板下方不均匀新月形混杂密度影
- D. 脑池广泛稍高密度影
- E. 脑积水
- 54. 外伤性迟发性脑内出血绝大多数发生在伤后

- A. 2 小时内 B. 24 小时内
- C. 48 小时内
- D. 72 小时内
- E. 一周后
- 55. 根据 UICC1974 年膀眈癌临床分期标准,肿瘤穿过肌层累及膀胱周围组织,属于
- A. T2
- B. T3A
- C. T3B
- D. T4A
- E. T4B
- 56. 有关胆囊炎的 CT 表现,不正确的是
- A. 胆囊肿大是急性胆囊炎最常见的表现
- B. 胆囊壁厚度≥2mm 时,即可认为系病理性改变
- C. 急性胆囊炎时, 胆囊周围低密度环系囊周组织水肿所致
- D. 囊壁钙化是慢性胆囊炎的特征性表现
- E. 囊壁增厚需与胆囊癌鉴别
- 57. 不能显示腹主动脉瘤血管壁钙化的 CT 图像是

- A. MIP
- B. SSD
- C. MPR
- D. 增强扫描
- E. 轴位图像
- 58. 不同 CT 值范围提示不同成分,下列叙述中不正确的是
- A. 3~18Hu 提示为液体
- B. 1000Hu 提示为空气
- C. 20~-80Hu 提示为脂肪_
- D. 100~300Hu 提示为钙化
- E. >400Hu 提示为骨骼
- 59. 使用血管对比剂的临床意义中,错误的是
- A. 提高血管与非血管结构的对比
- B. 显示血管内病变
- C. 提高增强病灶与周围正常组织的对比
- D. 减少非增强病灶与周围正常组织的对比
- E. 显示血脑屏障的破坏
- 60. 不属于颅脑外伤后常见合并症的是
- A. 脑血管损伤

- B. 脑萎缩
- C. 脑梗死
- D. 脑积水
- E. 脑室钙化
- 61. 典型肝细胞癌 CT 增强特征是
- A. 动脉期强化明显, 实质期显示低密度
- B. 门脉期病灶强化明显,实质期呈等密度
- C. 动脉期周边强化, 延迟扫描运渐呈等密度
- D. 病灶呈渐进性持续强化
- E. 病灶呈不均匀强化
- 62. 以下 CT 征象中,不能作为诊断中晚期直肠癌依据的是
- A. 肠壁全周增厚, 肠腔变小明显
- B. 病变与周围盆腔结构分界不清
- C. 盆腔内淋巴结直径大于 1.5cm
- D. 病变扁平无蒂, 有完整的轮廓
- E. 骶骨或尾骨显示骨破坏
- 63. CT 不能发现的股骨头无菌坏死的早 期病变是
- A. 骨小梁密度增高
- B. 骨质疏松和清楚、锐利囊性变

- C. 小裂缝或塌陷骨折
- D. 局限性骨髓水肿
- E. 骨质致密, 无骨小梁结构的新生骨
- 64. 下列关于窗宽的概念,错误的是
- A. 窗宽规定了所显示灰阶的中心
- B. 窗宽规定了所显示 CT 值的范围
- C. 通常 CT 机的窗宽都是可调节的
- D. 窗宽越大,不同组织间的灰度对比越低
- E. 实际应用时, 选择窗宽不包括所有组 织的显示范围
- 65. 空间分辨率
- A. 又称为高密度分辨率
- B. 又称为低密度分辨率
- C. 以百分比表示
- D. 与重建计算方法无关
- E. 与测量时使用的剂量无关
- 66. 有关梯度回波类序列特点的描述,正确的是
- A. 成像速度最快
- B. 图像固有信噪比低于 SE 序列
- C. 图像空间分辨力高于 SE 序列

- D. 血流都呈现高信号
- E. 常可用于 T1WI 和 T2WI
- 67. 患者肾癌晚期出现双下肢浮肿,腹壁静脉曲张。腹部 MR 检查显示肾门水平下腔静脉增粗,血管腔内呈中等信号,与血管壁界限不清。增强后,血管内异常信号有强化改变。最可能的诊断为
- A. 下腔静脉血栓形成
- B. 布-加氏综合征
- c. 下腔静脉扩张
- D. 下腔静脉梗阻
- E. 下腔静脉瘤栓形成
- 68. 二尖瓣狭窄的血液动力学改变不会 引起
- A. 左房增大
- B. 右室增大
- C. 左室增大
- D. 肺淤血
- E. 肺动脉高压
- 69. 某高血压患者检查中发现上肢高血 压,下肢低血压,下肢麻木、无力。胸部 MR 检查显示主动脉弓降部局部变窄,有多根肋间动脉增粗,左心室壁普遍增厚。最可能的诊断为

- A. 高血压性心脏病
- B. 主动脉缩窄
- C. 肥厚型心肌病
- D. 冠心病
- E. 动脉导管未闭
- 70. 乳腺 MR 片显示乳腺内有圆形异常信号,边界光滑规则,与周围正常腺体组织比较, T1WI 上病变为低信号,T2WI 为高信号。最可能的诊断为
- A. 乳腺增生
- B. 乳腺囊肿
- C. 乳管积乳
- D. 乳腺纤维瘤
- E. 乳腺癌
- 71. 间质性脑水肿主要继发于各种原因 造成的脑积水
- A. 通常以自由水增加为主
- B. 通常以结合水增加为主
- C. 通常以结合水减少为主
- D. 通常以自由水减少为主
- E. 通常有自由水和结合水同时升高

- 72. 下列哪项不属于 MR 水成像技术的 临床应用范畴
- A. MRS MR 波谱
- B. MRCP
- C. MRU
- D. MRM
- E. MR 涎腺管造影
- 73. 关于 MR 心脏检查的说法,不正确的是
- A. 左室呈椭圆形, 内壁光滑
- B. 右肺动脉内收缩期正常见不到信号
- C. 容易区分无信号的血流和钙化_
- D. 自旋回波序列心肌常呈等信号
- E. 心腔测量准确
- 74. 下列哪项不是 MRI 诊断胸主动脉瘤的优势
- A. 不用造影剂显示主动脉内腔
- B. 肿瘤壁钙化
- C. 管壁与周围结构的关系
- D. 确切的解剖信息
- E. 动脉瘤血流动态变化
- 75. MRI 不能显示的心脏结构是

- A. 房、室间隔
- B. 心肌壁厚度
- C. 心腔大小
- D. 人工生物瓣膜
- E. 金属瓣膜
- 76. 周围型肺癌检查应首选
- A. CT
- B. MRI
- c. 超声
- D. 核素
- E. 血管造影
- 77. 不能提示胸腺瘤恶变的影像学表现为
- A. 肿瘤短期内明显增大
- B. 肿瘤边界不清,向邻近组织浸润
- C. 点状、曲线状钙化出现
- D. 轮廓不规则、分叶状
- E出现胸腔积液和胸膜肿瘤结节
- 78. 显示肺动脉内栓子的最可靠的方法为
- A. CTA

- B. MRA
- C. 肺动脉造影
- D. 核素扫描
- E.B 超
- 79. 胰腺动态增强扫描最常采用
- A. 梯度回波序列(GE)的脂肪抑制 T1WI
- B. TSE 序列的 T1WI
- C. SE 序列的 T1WI
- D. 翻转恢复的 T1WI
- E. Truefisp 序列
- 80. 下列卵巢浆液性囊腺瘤的 MRI 表现,不正确的是
- A. 通常表现为较大的单囊,直径可超过 20cm
- B. 囊壁薄而均匀, 边缘光滑
- C. TIWI 上呈低信号
- D. T2WI 上呈中等信号
- E. 增强扫描囊腔不强化
- 81. 下列有关子宫内膜癌的描述,不正确的是
- A. 是女性生殖系统最常见的肿瘤之一 B. 主要临床表现是停经后出血

- C. 绝大多数患者为青年女性
- D. 子宫内膜癌又称子宫体癌
- E. 近年来发病率逐步提高
- 82. 提示可能有内膜病变的子宫内膜厚度是
- A. >30mm
- B. >20mm
- C. >15mm
- D. >10mm
- E. >5mm
- 83. 妊娠前 3 个月的妇女不宜行 MRI 检查的原因是
- A. 出于生物安全性考虑
- B. 孕妇妊娠反应重
- C. 费用过高
- D. MRI 检查时间过长
- E. 胎儿运动
- 84. T2WI 成像主要反映
- A. 组织间质子含量的差别
- B. 组织横向弛豫的差别
- C. 组织纵向弛豫的差别

- D. 组织间密度的差别
- E. 组织间含水量的差别
- 85. 下列因素中,可造成血流呈高信号的是
- A. 流空效应所产生的流动振荡
- B. 质子群位移造成的信号
- c. 流入增强效应
- D. 流速非常快的血流
- E. 层流引起的分子旋转造成的失相位
- 86. 正常精囊的 MRI 图像特点为
- A. 长 T1 低信号, 长 T2 高信号
- B. 长 T1 低信号,短 T2 低信号
- C. 短 T1 高信号, 长 T2 高信号
- D. 短 T1 高信号, 短 T2 低信号
- E. 均匀等 T1 等 T2 信号
- 87. 下列膀胱肿瘤中,最常见的是
- A. 移行细胞癌
- B. 鳞状细胞嬉
- C. 腺癌
- D. 梭形细胞癌
- E. 转移癌

- 88. 关于黄骨髓的信号特征,不正确的是
- A. 水抑制图像上为低信号_
- B. T1WI 上为高信号
- C. T2WI 上为稍高信号
- D. 脂肪抑制图像上为低信号
- E. 与皮下脂肪信号一致
- 89. MRI 上主要表现为黄骨髓取代红骨髓的疾病是
- A. 再障, 骨髓放疗后改变
- B. 再障, 白血病
- C. 白血病、多发性骨髓瘤
- D. 多发性骨髓瘤、骨髓放疗后改变
- E. 骨转移瘤, 白血病
- 90. 以肌肉信号为等信号,则肌腱信号特征为
- A. 所有序列上均为高信号
- B. 所有序列上均为等信号
- D. T1WI 高信号, T2WI 低信号
- E. T1WI 低信号, T2WI 高信号

- 91. 骨囊肿的好发部位为
- A. 骨干
- B. 骨端
- C. 干骺端
- D. 骨骺内
- E. 皮质内
- 92. 动脉瘤样骨囊肿,相对比较有特异性的 MRI 征象是
- A. 囊性病灶
- B. 液一液平面
- C. 不强化
- D. T1WI 高信号
- E. T2WI 高信号
- 93. 关于脊髓空洞症的叙述,正确的是
- A. 一种先天性畸形
- B. 就是脊髓积水
- C. 空洞内出现脑脊液流空现象方可确定诊断
- D. 可由肿瘤引起
- E. 受累节段脊髓不会增粗
- 94. MRI 不能诊断的脊髓损伤性病变是

- A. 脊髓断裂
- B. 脊髓挫伤
- c. 脊髓受压
- D. 脊髓震荡
- E. 脊髓出血
- 95. 当肾细胞癌患者肾静脉及下腔静脉 内见瘤栓,但尚没有邻近器官的侵犯和远处转移时,该患者的肾细胞癌分期为
- A. 0
- B. I
- C. II
- D. III
- E. IV
- 96. 橄榄桥脑小脑萎缩的常见 MRI 表现为
- A. 脑组织信号和体积均为异常
- B. 脑组织信号和体积均为正常
- C. 脑组织信号异常, 但体积正常
- D. 脑组织信号正常, 但体积缩小
- E. 脑组织信号正常, 但体积增大
- 97. 与胆囊癌相关的疾病是

- A. 急性化服性胆管炎B. 急性胆囊炎C. 慢性胰腺炎
- D. 胃溃疡
- E. 瓷胆囊
- 98. 在肝脏的 MRI 对比剂中,被称为血管外间隙或细胞外液的对比剂是
- A. Mn-DPDP
- B. Gd-DTPA
- C. SPIO
- D. USPIO
- E. Feridex
- 99. 弥漫性轴索损伤不容易累及的部位是
- A. 皮髓质交界区
- B. 脑皮质_
- C. 脑白质
- D. 脐月正体
- E. 脑干
- 100. 常用胃 MRI 检查序列通常不包括

- A. 快速恢复的快速自旋回波 T2 加权像
- B. 单次激发半傅立叶采集的快速自旋回波 T2 加权像
- C. 脂肪抑制的稳态进动的梯度回波序列
- D. 自旋回波 T1 加权像
- E. 快速扰相的梯度回波 T1 加权像
- 101. 根据 MRI 膝关节半月板内信号范围进行损伤分度,错误的是
- A.0度:正常半月板,其内无异常信号
- B.1度:半月板内见圆形或椭圆形异常高信号,但信号未抵至 半月板关节面
- C. 2度: 半月板内见线形异常信号, 但信号未抵至半月板关节面
- D. 3 度: 半月板内见圆形或椭圆形或线形异常信号, 信号抵至 半月板关节面
- E.3 度通常为半月板内变性所致
- 102. 垂体柄阻断综合征的 MRI 表现不包括
- A. 垂体柄缺如
- B. 垂体后叶位于蝶鞍垂体窝
- C. 垂体前叶发育不良
- D. 垂体后叶异位

E. 垂体柄明显变细

- 103. 绝大多数颅内肿瘤在 T1WI 呈
- A. 低信号
- B. 中等信号
- C. 中等稍高信号
- D. 中等稍低信号
- E. 高信号
- 104. 毛细胞型星形细胞瘤通常
- A. 边缘清楚
- B. 边缘较清楚
- C. 边缘不清楚,有假包膜
- D. 无假包膜
- E. 有假包膜
- 105. 亚急性早期颅内出血的信号特点是
- A. T1WI 等信号, T2WI 稍低信号
- B. T1WI 血肿周边高信号, T2WI 低等信号
- C. T1WI 低信号, T2WI 高信号
- D. T1WI 高信号, T2WI 低信号
- E. T1WI 高信号, T2WI 高信号

- 106. Dandy-Walker 畸形较少合并
- A. 脐眼体发育不全
- B. 灰质异位
- C. 脑裂畸形
- D. 无脑回畸形
- E. 脑穿通畸形
- 107. 正常青年人椎间盘髓核的含水量是
- A. 50% 60%
- B. 60%~70%
- C. 70%~80%
- D. 80%~90%
- E. 90% 95%
- 108. 腕关节的冠状位图像最不易显示的是
- A. 三角纤维软骨
- B. 腕骨骨间韧带
- C. 尺侧、挠侧副韧带
- D. 正中神经
- E. 腕骨

- 109. 关于抑制磁化率伪影的对策中,错误的是
- A. 做好匀场, 磁场越均匀, 磁化率伪影越轻
- B. 增加矩阵
- C. 减少磁化率差
- D. 增加 TE
- E. 去除受检者体内或体表的金属异物
- 110. 有关 MRI 优势的描述,错误的是
- A. MR 无电离辐射
- B. MR 与 CT 相比, 其软组织分辨力高
- C. MR 与 CT 相比, 其空间分辨力高
- D. MR 可行任意切面成像
- E.MR 成像参数多,信息量大
- 111. 基底神经节包括
- A. 新纹状体、旧纹状体
- B. 尾状核、豆状核
- C. 尾状核、豆状核、丘脑
- D. 丘脑、豆状核
- E. 尾状核、豆状核、屏状核及杏仁核簇
- 112. MRDWI 检出超急性期脑梗死最早可以在发病后

- A. 30 分钟
- B. 60 分钟
- C. 90 分钟
- D. 120 分钟
- E. 150 分钟
- 113. 关于颅内动脉瘤的描述,错误的是
- A. 可分囊状、梭形和夹层动脉瘤
- B. 囊状动脉多见于儿童
- C. 囊状动脉瘤为起自动脉分叉部的圆形肿物
- D. 动脉瘤壁通常仅有内膜和外膜
- E. 动脉瘤内常有血栓形成
- 114. 关于蛛网膜下腔出血的 MR 诊断, 错误的是
- A. 由于出血与脑脊液混合,可能影响凝血
- B. MRI 显示急性蛛网膜下腔出血较敏感
- C. 亚急性蛛网膜下腔出血 T1WI、T2WI 均呈高信号
- D. T1WI 对诊断蛛网膜下腔出血很重要
- E. MRI 诊断急性蛛网膜下腔出血不如 CT 敏感
- 115. 推管狭窄常见于
- A. 胸段-

- B. 颈、胸段 C. 胸、腰段 D. 腰、骶段 <u>E. 颈、腰段</u>
- 116. 外伤性脊髓水肿伤后病情达到最严重的时间为
- A. 1 天
- B. 2 天
- C.3~6 天
- D.7天
- E. 半月后
- 117. 圆锥以上部位室管膜瘤的 MRI 表现不包括
- A. 呈圆形或腊肠状
- B. 长轴与脊髓一致
- C. 脊髓增粗
- D. 常累及几个节段
- E. T2WI 呈低信号
- 118. 脊髓纵裂中间的隔通常不包含
- A. 血管
- B. 骨

- C. 软骨
- D. 纤维
- E分裂的脊髓包有蛛网膜和硬膜
- 119. 关于外伤性脊髓空洞症的描述,错误的是
- A. 患部脊髓周围多有陈旧骨折
- B. 脊髓可正常粗细或变细
- C. 增强扫描常有明显强化效应
- D. 空洞多呈纵向的条状或囊状
- E. 信号和 CSF 相同
- 120. 枕环枢联合由
- A. 二个环枕和三个环枢关节联合构成
- B. 二个环枕和二个环枢关节联合构成
- C. 三个环枕和三个环枢关节联合构成
- D. 三个环枕和二个环枢关节联合构成
- E. 一个环枕和三个环枢关节联合构成
- 121. Gd-DTPA 增强后不强化的肝脏病灶是
- A. 错构瘤
- B. 血管瘤
- C. 肝癌

- D. 细菌性脓肿
- E. 囊肿
- 122. 胆囊癌最多见的病理类型是
- A. 腺癌
- B. 鳞癌
- C. 类癌
- D. 内分泌性细胞肿瘤
- E. 非上皮性肿瘤
- 123. MRI 检查输尿管结石,目前最简便快速的方法为
- A. MRA
- B. MRCP
- C. MRU
- D. 增强 MRI 扫描
- E.MR 平扫 T1WI 加脂肪抑制
- 124. 与 SE 序列相比, FSE 序列的优点是
- A. 成像速度加快
- B. 图像对比度增加
- C. 脂肪信号增高
- D. 能量沉积减少
- E. 图像模糊效应减轻

- 125. 肝转移瘤"靶征"在 T2 加权像上表现的外晕环的病理基础是
- A. 液化坏死
- B. 纤维结缔组织形成和凝固性坏死
- C. 生长活跃的肿瘤细胞和细胞坏死
- D. 脂肪浸润
- E. 肿瘤出血
- 126. 下列肿瘤转移到牌脏,转移灶颇具特征性的是
- A. 乳腺癌
- B. 肺癌
- C. 前列腺癌
- D. 结肠癌
- E. 黑色素瘤
- 127. SE 序列的相位一致是指质子群所有质子
- A. 在同一方向同步自旋
- B. 在同一方向不同步自旋
- C. 在同一方向同步进动
- D. 在不同方向同步进动
- E. 在不同方向同步自旋

- 128. 利用 TOF 技术进行颈部动脉 MRA,为避免静脉显影,应
- A. 在成像区域的上方设置预饱和带
- B. 在成像区域的下方设置预饱和带
- C. 在成像区域的前方设置预饱和带
- D. 在成像区域的后方设置预饱和带
- E. 在上述四个方向均设置预饱和带
- 129. 在 T2WI 上, 亚急性后期血肿以及慢性血肿出现低信号环, 是因为
- A. 血肿周边出现正铁血红蛋白
- B. 血肿周边的巨睦细胞吞噬大量含铁血黄素
- C. 血肿周边钙化
- D. 血肿周边出现去氧血红蛋白
- E血肿周边出现氧合血红蛋白
- 130. 膝关节 MRI 扫描应使用
- A 筒状正交膝线圈
- B. 包绕式表面线圈
- C. 环形表面线圈
- D. 双膝关节包绕式线圈
- E. 体线圈

- 131. 关于房间隔缺损的描述,不正确的是
- A. 原发孔(I孔)型属心内膜垫部分缺
- B. 继发孔(II 孔)型缺损位于心房间隔中部
- C. 原发孔型常见
- D. 右心房扩大
- E. 右室壁增厚
- 132. 以下哪一结构 CT 成像不宜用骨算法重建
- A. 肺实质
- B. 椎小关节
- C. 中耳与内耳
- D. 纵隔淋巴结
- E. 血管壁的钙化
- 133. STIR 技术的特点是
- A 信号抑制的选择性高
- B. 扫描时间短
- C. 适用于增强扫描
- D. 大 FOV 扫描也能获得良好的脂肪抑制效果
- E. 对场强的依赖性很高

- 134. 位于肾旁前间隙的结构,不包括
- A. 胰腺
- B. 脾静脉
- C. 肾上腺
- D. 十二指肠降段
- E. 升结肠
- 135. 人体组织 MRI 信号最主要来源于
- A. 脂肪中的氢质子
- B. 蛋白质中的氢质子
- C. 结合水中的氢质子
- D. 自由水中的氢质子
- E. 所有水分子中的氢质子
- 136. 引起上腔静脉阻塞最常见病因是
- A. 淋巴瘤
- B. 胸腺癌
- C. 肺癌
- D. 胸内甲状腺肿
- E. 恶性畸胎瘤
- 137. 良性前列腺增生通常发生于

- A. 移形带
- B. 中央带
- C. 周围带
- D. 前肌纤维质
- E. 各部分发生率无差别
- 138. 在 MRI 检查中关于卵巢的描述, 正确的是
- A. 增强扫描卵巢间质组织的强化明显低于子宫肌层
- B. 皮质为高信号, 髓质为低信号
- C. 皮质为等信号, 髓质为等信号
- D. 皮质为混杂低信号, 髓质为混杂高信号
- E. 皮质为等信号, 髓质为混杂高信号
- 139. 风心病二尖瓣狭窄, MR 电影表现为
- A. 收缩期在二尖瓣后方产生低信号血流束
- B. 舒张期在二尖瓣后方产生低信号血流束
- C. 收缩期在二尖瓣前方产生低信号血流束
- D. 舒张期在二尖瓣前方产生低信号血流束
- E. 二尖瓣开启正常
- 140. 风湿性心脏病二尖瓣狭窄基本病理变化不包括
- A. 瓣叶粘连

- B. 腱索纤维化
- C. 腱索断裂
- D. 腱索缩短
- E. 瓣膜下移
- 141. 内耳骨迷路中前庭横径超过多少为前庭扩大
- A. 2. 5mm
- B. 3. 0mm
- C. 3. 2mm
- D. 3.5mm
- E. 4. 0mm
- 142. 乳腺增生增强特点是
- A. 弥漫性轻度强化
- B. 弥漫性中等度强化
- C. 结节样轻度强化
- D. 结节样中等度强化
- E. 无强化
- 143. 代表小儿脑髓鞘形成的是脑白质
- A. TIWI 信号降低
- B. T2WI 信号降低

- C. TIWI 信号增高
- D. T2WI 信号增高
- E. 脂肪抑制信号降低
- 144. 中枢神经系统霉菌感染最常累及的部位为
- A. 脑室系统
- B. 大脑半球灰白质交界区
- C. 小脑
- D. 基底节区
- E. 脑干
- 145. 血源性肺脓肿,脓肿形成时间一般在
- A. 1~4 天
- B. 5[~]7 天
- C. 7~10 天
- D. 2 周左右
- E. >14 天
- 146. 妊娠中后期胎儿在 MRI 检查中可清晰显示的结构,不正确的是
- A. 中枢神经系统
- B. 肝脏

- C. 心脏
- D. 四肢
- E. 胸腔大血管

147. 患者男, 45 岁。胃病史多年, 血浆蛋白降低。X 线示胃体大弯侧粘膜皱襞粗大扭曲, 胃壁柔软, 蠕动存在。应考虑为

- A. 慢性肥厚性胃炎
- B. 淋巴瘤
- C. 静脉曲张
- D. Menetrier 病
- E. Crohn 病
- 148. 常用于评价直肠癌肠壁受累程度, 判断肿瘤与相邻结构关系的序列为
- A. 快速梯度回波增强扫描
- B. 高分辨 T2WI
- C. 快速 T1WI
- D. 矢状位 T1WI
- E脂肪抑制序列
- 149. 小儿颅脑 MR1 检查冠状位 T₁WI,对评价以下哪种疾病没

- 有特殊价值
- A. 脑积水
- B. 脑白质病
- C. 阱 ijlt 体发育不良
- D. 脑占位病变
- E. 脑膜病变
- 150. 不符合股骨头缺血性坏死的表现是
- A. 股骨头相对密度增高
 - B. 股骨头囊变硬化
- C. 股骨头压缩变形
- D. 股骨头蘑菇状变形
- E. 股骨头骨质疏松